

## بررسی ضریب توزیع استرانسیم در نمونه‌ای از خاک تهران

شیوا باقری<sup>۱</sup>، سید امیرحسین فقهی<sup>۱</sup>، حسین قاسمی مبتکر<sup>۲\*</sup>، امیرمسعود طاهریان<sup>۳</sup>، حسن آقایان<sup>۲</sup>، طاهر یوسفی<sup>۲</sup>

۱. دانشکده مهندسی هسته‌ای، دانشگاه شهید بهشتی، کدپستی: ۱۹۸۳۹۶۹۴۱۱، تهران - ایران

۲. پژوهشکده چرخه سوخت هسته‌ای، پژوهشگاه علوم و فنون هسته‌ای، سازمان انرژی اتمی ایران، صندوق پستی: ۱۱۳۶۵-۸۴۸۶، تهران - ایران

۳. شرکت مدیریت پسمان‌های پرتوزای ایران، کدپستی: ۱۴۳۹۹۵۵۹۳۱، تهران - ایران

\*Email: hghasemi@aeoi.org.ir

### مقاله‌ی پژوهشی

تاریخ دریافت مقاله: ۱۴۰۰/۹/۲۳ - تاریخ پذیرش مقاله: ۱۴۰۰/۱۱/۵

### چکیده

این تحقیق به بررسی ضریب توزیع استرانسیم در نمونه‌ای از خاک منطقه جنوب تهران می‌پردازد. در این تحقیق از روش ستونی برای تعیین ضریب توزیع استرانسیم استفاده شده است. همچنین اثر سه فاکتور pH، غلظت استرانسیم و ارتفاع خاک در ستون با استفاده از طراحی آزمایش به روش RSM مورد مطالعه قرار گرفته است. برای این منظور برای هر پارامتر ۵ سطح مختلف در نظر گرفته شد و آزمایش‌ها توسط نرم‌افزار MiniTab طراحی و انجام گردیدند. طبق نتایج به دست آمده در مدل پیش‌بینی شده، pH، ارتفاع ستون، برهمکنش بین pH و ارتفاع ستون، برهمکنش بین pH و غلظت استرانسیم و برهمکنش بین غلظت استرانسیم و ارتفاع ستون حایز اهمیت هستند. توان دوم ضرایب و همچنین غلظت استرانسیم تأثیر زیادی بر میزان ضریب توزیع نداشته است. بیشترین اثر ناشی از ارتفاع ستون می‌باشد که با افزایش ارتفاع ستون ضریب توزیع بیشتر می‌شود. میزان تطبیق معادله پیش‌بینی کننده با مقادیر واقعی ۹۶.۳۹٪ است که مقدار قابل قبولی است.

**کلیدواژه‌ها:** ضریب توزیع، استرانسیم، روش سطوح پاسخ، جذب

## Investigating the distribution coefficient of strontium in a sample of Tehran soil

Sh. Bagheri<sup>1</sup>, S.A.H. Feghhi<sup>1</sup>, H. Ghasemi Mobtaker<sup>\*2</sup>, A.M. Taherian<sup>3</sup>, H. Aghayan<sup>2</sup>, T. Yousefi<sup>2</sup>

1. Nuclear Engineering School, Shahid Beheshti University, Postal code: 1983969411, Tehran-Iran

2. Nuclear Fuel Cycle Research School, Nuclear Science and Technology Research Institute, AEOI, P.O.Box:11365-8486, Tehran-Iran

3. Radioactive Waste Management Company, Postal code: 1439955931, Tehran-Iran

### Research Article

Received 14.12.2021, Accepted 25.1.2022

### Abstract

This study investigates the distribution coefficient of strontium in a soil sample in the south of Tehran. In this research, the columnar method was used to determine the distribution coefficient of strontium. Also, the effect of three factors, pH, strontium concentration, and soil height in the column was studied using the RSM method's experimental design. For this purpose, five different levels were considered for each parameter, and the experiments were designed and performed by MiniTab software. According to the results obtained in the predicted model, pH, column height, interaction between pH and column height, the interaction between pH and strontium concentration, and interaction between strontium concentration and column height are important. The square of the coefficients as well as the concentration of strontium, did not have much effect on the distribution coefficient. The most significant effect is due to the height of the column, which increases with increasing the height of the column. The rate of conformity of the predictive equation with the actual values is 96.39%, which is an acceptable value.

**Keywords:** Distribution coefficient, Strontium, Response surface method, Adsorption



میزان آلودگی و سرعت حرکت آن و قدرت بازداری خاک از گسترش آلودگی در منطقه کسب نمود. یکی از روش‌های رایج برای اندازه‌گیری  $K_d$  روش ستونی می‌باشد. در این روش محلولی حاوی مقادیر مشخصی از رادیونوکلید از ستونی از خاک با دانسیته خاص عبور داده می‌شود. غلظت سیال خروجی به صورت تابعی از زمان اندازه‌گیری می‌شود. برای محاسبه سرعت آب در منافذ از یک ردیاب مانند فلوروسین استفاده می‌شود. در نهایت داده‌ها به صورت یک منحنی شکست رسم می‌گرددند. متوسط زمان حضور برای یک ورودی پله‌ای به صورت زیر می‌باشد:

$$t_{step} = \frac{\int_{C_{min}}^{C_{max}} t dC}{\int_{t_{min}}^{t_{max}} C_i dt} \quad (1)$$

در این معادله  $C_{max}$ ، بیشترین غلظت اندازه‌گیری شده در پساب بر حسب g/ml و  $C_{min}$ ، کمترین غلظت اندازه‌گیری شده در پساب بر حسب g/ml می‌باشد. زمانی که منحنی خروجی ایده‌آل باشد،  $T_{step}$  برابر با زمانی است که منحنی شکست به ۰٪ ۵۰ یا ۵٪ از شکست برسد. به عبارت دیگر  $C_i/C_e = 0.5$  خواهد بود. فاکتور تأخیر نسبت سرعت منافذ آب به سرعت آلاینده تعریف می‌شود و واحد آن سانتی‌متر بر ساعت است. این فاکتور با استفاده از معادله ۲ محاسبه می‌شود.

$$R_f = \frac{V_p}{V_c} \quad (2)$$

سرعت منافذ آبی به عنوان سرعت ردیاب غیر قابل جذب تعریف می‌شود. مقدار ضریب توزیع  $K_d$  را می‌توان مستقیماً با استفاده از فاکتور تأخیر و خواص خاک محاسبه کرد. ضریب توزیع را می‌توان با استفاده از رابطه زیر محاسبه کرد که در آن  $n$  تخلخل کل و  $\rho_b$  دانسیته می‌باشد [۱۴-۸].

$$R_f = 1 + \frac{\rho_b + K_d}{n} \quad (3)$$

فاکتورهای مختلفی می‌توانند بر میزان  $K_d$  مؤثر باشند که در این پژوهش سه فاکتور ارتفاع سنتون، غلظت استرانسیم و pH انتخاب شده و مورد مطالعه قرار گرفتند. در این کار این سه فاکتور با استفاده از روش Response Surface به کمک نرمافزار MiniTab بررسی گردیده و معادله پیش‌بینی کننده‌ی  $K_d$  در شرایط مختلف به دست آمد. همچنین برهم‌کنش فاکتورها نیز بررسی گردید.

## ۱. مقدمه

با پیشرفت و توسعه فناوری و افزایش جمعیت، گسترش آلودگی‌ها در مناطق مختلف از جمله مناطق صنعتی و کشاورزی رشد چشمگیری داشته است. آلودگی محیط زیست توسط فلزات سنگین و رادیونوکلیدها در نتیجه بسیاری از فعالیت‌های صنعتی، مصرف مواد شیمیایی، استخراج معدن و همچنین منابعی مانند ضایعات کشاورزی و فاضلاب‌ها ایجاد شده و به اتمسفر و محیط‌های خاکی و آبی وارد می‌شوند. مواد شیمیایی انباسته شده در مراکز دفن پسمندانها ممکن است به آب‌های زیرزمینی، کانال‌های زهکشی یا جریان‌های سطحی راه پیدا کنند. این بحث برای مواد پرتوزا و مواد شیمیایی منتشر شده از مراکز نگهداری پسمندانها و پسمنگورها نیز صادق است.

یکی از پارامترهای مهم و تأثیرگذار در محاسبات تحلیل یمنی پسمنگور پسمندانهای هسته‌ای، مقادیر ضرایب توزیع ( $K_d$ ) می‌باشد و این مقادیر در خاک‌هایی با جنس‌های مختلف متفاوت است. تعیین این مقادیر به صورت آزمایشگاهی امری بسیار ضروری و حائز اهمیت است.

آلودگی محیط زیست به وسیله مواد پرتوزا و فلزات سنگین به دلیل اثرات زیان‌بار آن‌ها از اهمیت بیشتری برخوردار است و اثرات آن در اکوسیستم بسیار نگران‌کننده‌تر است. این مواد به اشکال قابل انتقال تبدیل شده و در محیط‌های پذیرنده رسوبات تجمع می‌یابند. این آلودگی‌ها وارد زنجیره غذایی شده و بسیاری از آن‌ها حتی در غلظت‌های کم نیز سمی و مضر می‌باشند.

یکی از این رادیونوکلیدها استرانسیم ۹۰ است که عنصری با نیمه‌عمر ۲۸ سال و دارای میل ترکیبی بسیار بالا و به شدت سمی است. در اطفال جذب استرانسیم زیادی، باعث اختلالات رشد می‌شود. وقتی جذب استرانسیم بسیار زیاد باشد، رشد استخوان‌ها دچار مشکل می‌شود. اگر جذب استرانسیم پرتوزا خیلی زیاد باشد، باعث کم‌خونی و کمبود اکسیژن می‌شود. غلظت بسیار بالای استرانسیم به خاطر آسیب به ماده ژنتیکی سلول‌ها باعث سرطان می‌شود. از طرفی استرانسیم از نظر شیمیایی بسیار شبیه به عنصر کلسیم بوده و می‌تواند در استخوان و دندان‌ها تجمع پیدا کند و خطر اصلی در رابطه با استرانسیم ناشی از همین موضوع می‌باشد [۱۴-۱].

در این تحقیق ضریب توزیع استرانسیم در نمونه‌ای از خاک منطقه جنوبی تهران مورد بررسی قرار می‌گیرد. از آن‌جا که جهت جریان‌های آب زیرزمینی به سمت جنوب تهران بوده و در صورت بروز حوادثی که منجر به نشت رادیونوکلیدها گردد این آلودگی به سمت جنوب تهران خواهد رفت، با آگاهی از ضریب توزیع خاک منطقه می‌توان پیش‌بینی‌های مناسبی در خصوص



جدول ۱. جدول طراحی رندوم برای RSM

| Order | pt Type | Blocks | H(cm) | pH | C(ppm) |
|-------|---------|--------|-------|----|--------|
| ۱     | ۱       | ۱      | ۴     | ۴  | ۲۵۰    |
| ۲     | ۱       | ۱      | ۴     | ۸  | ۲۵۰    |
| ۳     | ۱       | ۱      | ۲     | ۴  | ۲۵۰    |
| ۴     | ۱       | ۱      | ۲     | ۸  | ۲۵۰    |
| ۵     | ۱       | ۱      | ۲     | ۸  | ۳۵۰    |
| ۶     | -1      | ۱      | ۵     | ۶  | ۳۰۰    |
| ۷     | -1      | ۱      | ۱     | ۶  | ۳۰۰    |
| ۸     | ۱       | ۱      | ۴     | ۸  | ۲۵۰    |
| ۹     | ۰       | ۱      | ۳     | ۶  | ۳۰۰    |
| ۱۰    | ۱       | ۱      | ۲     | ۴  | ۳۵۰    |
| ۱۱    | ۰       | ۱      | ۳     | ۶  | ۳۰۰    |
| ۱۲    | ۰       | ۱      | ۳     | ۶  | ۳۰۰    |
| ۱۳    | ۰       | ۱      | ۳     | ۶  | ۳۰۰    |
| ۱۴    | ۰       | ۱      | ۳     | ۶  | ۳۰۰    |
| ۱۵    | -1      | ۱      | ۳     | ۲  | ۳۰۰    |
| ۱۶    | ۰       | ۱      | ۳     | ۶  | ۳۰۰    |
| ۱۷    | -1      | ۱      | ۳     | ۱۰ | ۳۰۰    |
| ۱۸    | ۰       | ۱      | ۳     | ۶  | ۳۰۰    |
| ۱۹    | ۱       | ۱      | ۴     | ۴  | ۲۵۰    |
| ۲۰    | -1      | ۱      | ۳     | ۶  | ۲۰۰    |
| ۲۱    | ۰       | ۱      | ۳     | ۶  | ۳۰۰    |
| ۲۲    | -1      | ۱      | ۳     | ۶  | ۴۰۰    |

جدول ۲. فازهای شناسایی شده توسط آنالیز XRD در نمونه خاک

| فرمول شیمیایی   | کانی                      |
|---|---------------------------|
| $\text{SiO}_2$  | کوارتز                    |
| $\text{Na}_{\text{۱}}(\text{Al}, \text{Mg})_{\text{۲}}\text{Si}_2\text{O}_5(\text{OH})_{\text{۱}} - x\text{H}_2\text{O}$    | مونتموریلونیت             |
| $(\text{K}, \text{Na})(\text{Al}, \text{Mg}, \text{Fe})_{\text{۲}}(\text{Si}, \text{Al})_2\text{O}_5(\text{OH})_{\text{۱}}$ | مسکوویت                   |
| $\text{CaCO}_3$   | کلسیم کربنات              |
| $\text{NH}_4\text{Ca}_2\text{P}_2\text{O}_7 \cdot 2\text{H}_2\text{O}$  | آمونیم کلسیم فسفات هیدرات |

جدول ۳. نتایج آنالیز XRF نمونه خاک

| درصد وزنی در خاک | ترکیب                   |
|------------------|-------------------------|
| ۶۶,۰۶            | $\text{SiO}_2$          |
| ۱۰,۶۳            | $\text{Al}_2\text{O}_3$ |
| ۱,۳۶             | $\text{Fe}_2\text{O}_3$ |
| ۰,۲۶             | $\text{FeO}$            |
| ۴,۶۵             | $\text{MgO}$            |
| ۸,۸۰             | $\text{CaO}$            |
| ۰,۱۷             | $\text{Na}_2\text{O}$   |
| ۰,۴۷             | $\text{K}_2\text{O}$    |

## ۲. مواد شیمیایی و دستگاه‌های دستگاه‌های

نمونه‌ای از خاک از مناطق جنوبی تهران به دست آمد. این نمونه دانه‌بندی شد و ذرات دارای ابعاد ۱۸۰-۲۰۰ میکرومتر برای انجام آزمایشات مورد استفاده قرار گرفتند. مواد شیمیایی مورد استفاده همگی دارای خلوص تعیین شده و از شرکت مرک تهیه شده بودند. روش پراش اشعه ایکس برای شناسایی اجزای خاک استفاده شد که برای این منظور از دستگاه پراش اشعه ایکس ساخت STADI MP آلمان مدل استفاده گردید. ترکیب شیمیایی خاک با استفاده از روش فلورسانس اشعه ایکس به دست آمد که برای این منظور از دستگاه فلورسانس ساخت OXFORD مدل ED ۲۰۰۰ استفاده شد. در این تحقیق اثر سه فاکتور pH، ارتفاع ستون و غلظت محلول استرانسیم بر روی  $K_d$  استرانسیم در جذب ستونی مطالعه گردید. ستون توسط وزن مشخصی از خاک (برای به دست آوردن ارتفاع خاص ستون) پر شد و محلول استرانسیم با غلظت pH معین از ستون عبور داده شد. سرعت جریان عبور محلول از ستون در طی آزمایش توسط پمپ پریستالتیک ثابت نگه داشته شد و نمونه‌ها در فواصل زمانی مشخص جمع‌آوری گردیدند. غلظت استرانسیم در نمونه توسط روش ICP (Optima ۷۳۰۰ DV, Perkin Elmer Co., USA) تعیین گردید. مقادیر  $K_d$  از فاکتور بازداری ( $Rf$ ) محاسبه گردید. سرعت آب حفره که به صورت سرعت ردیاب جذب نشده تعريف می‌شود توسط فلوروسین تعیین گردید. از روش طراحی آزمایش برای ارزیابی اثر پارامترهای مذکور بر روی  $K_d$  استفاده گردید. برای این منظور روش سطوح پاسخ (RSM) به کار گرفته شد که از نرمافزار MiniTab برای اجرای آن استفاده شد. ۵ سطح برای هر پارامتر در نظر گرفته شد. مقادیر pH شامل مقادیر ۲، ۳، ۴، ۶، ۸ و ۱۰ می‌باشند. ارتفاع خاک نیز شامل مقادیر ۱، ۲، ۳، ۴ و ۵ سانتی‌متر می‌باشند. غلظت‌های انتخاب شده عبارتند از ۲۰۰، ۲۵۰، ۳۰۰، ۳۵۰ و ۴۰۰ ppm. جدول ۱ طراحی رندوم را برای RSM نشان می‌دهد. سطوح پارامترها در این جدول نشان داده شده است.

## ۳. نتایج و بحث

جدول ۲ فازهای اصلی تعیین شده توسط روش XRD در نمونه خاک را نشان می‌دهد که در آن ترکیباتی مثل کوارتز، مونتموریلونیت، مسکوویت و ... دیده می‌شوند. جدول ۳ نتایج آنالیز XRF را نشان می‌دهد. طبق نتایج این آنالیز، نمونه خاک می‌تواند به عنوان خاک ماسه‌ای رسی در نظر گرفته شود.



| جدول ۴. محاسبه شده برای هر آزمایش |                       |              |
|-----------------------------------|-----------------------|--------------|
| Kd (cm <sup>3</sup> /g)           | t <sub>step</sub> (h) | شماره آزمایش |
| ۲۰,۵۴                             | ۷,۱۸۰                 | ۱            |
| ۱۷,۹۰                             | ۵,۱۶۶                 | ۲            |
| ۱۴,۲۰                             | ۵,۳۰۲                 | ۳            |
| ۱۹,۳۰                             | ۵,۰۵۲                 | ۴            |
| ۲۵,۲۶                             | ۳,۳۷۹                 | ۵            |
| ۲۵,۶۲                             | ۱۳,۳۰۹                | ۶            |
| ۲۱,۱۰                             | ۲,۳۹۱                 | ۷            |
| ۲۸,۵۰                             | ۱۰,۲۴۵                | ۸            |
| ۲۳,۴۰                             | ۶,۷۸۴                 | ۹            |
| ۲۵,۶۰                             | ۴,۱۱۵                 | ۱۰           |
| ۲۲,۵۰                             | ۶,۴۱۲                 | ۱۱           |
| ۲۳,۷۲                             | ۶,۷۴۵                 | ۱۲           |
| ۲۲,۶۰                             | ۷,۸۰۹                 | ۱۳           |
| ۲۱,۳۵                             | ۷,۴۲۲                 | ۱۴           |
| ۲۱,۲۰                             | ۷,۵۶۴                 | ۱۵           |
| ۲۳,۴۶                             | ۷,۰۴۰                 | ۱۶           |
| ۲۳,۱۰                             | ۷,۷۰۷                 | ۱۷           |
| ۲۲,۲۰                             | ۷,۱۱۷                 | ۱۸           |
| ۲۵,۹۰                             | ۸,۹۶۲                 | ۱۹           |
| ۲۲,۳۰                             | ۱۰,۵۲۹                | ۲۰           |
| ۲۲,۸۰                             | ۷,۴۲۲                 | ۲۱           |
| ۲۱۴,۱۰                            | ۵,۵۹۶                 | ۲۲           |

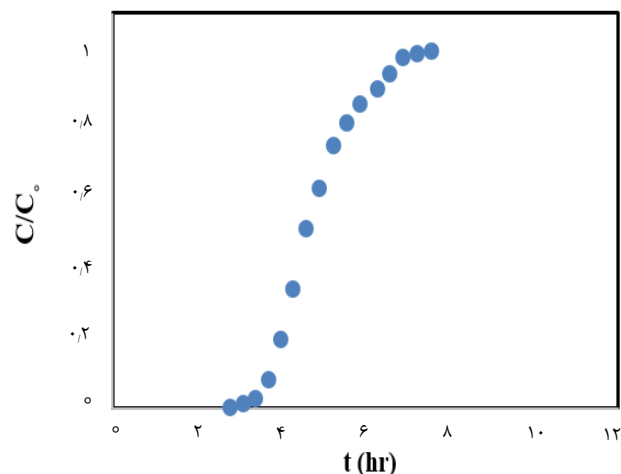
جدول ۵ نتایج مربوط به اهمیت فاکتورهای مختلف و اهمیت برهمنش آنها در میزان  $K_d$  به دست آمده و همچنین رگرسیون مربوط به میزان تطابق معادله پیش‌بینی  $K_d$  در شرایط مختلف با مقادیر واقعی را نشان می‌دهد. در این جدول خطای استاندارد مربوط به ضرایب عوامل و برهمنش‌های آنها نیز مشاهده می‌شود. میزان اهمیت هر یک از اثرات در ستون P آورده شده است که بر اساس آن می‌توان نتیجه گرفت اثر مربوط به غلظت از اهمیت کمی در محاسبه ضریب توزیع برخوردار است، زیرا مقدار P برای این اثر بیشتر از سطح اطمینان ۰,۰۵ می‌باشد ( $P=0,124$ ). همان‌طور که مشاهده می‌شود جملات شامل توان دوم فاکتورهای مؤثر، اهمیت چندانی در معاله پیش‌بینی ندارند. میزان تطابق معادله پیش‌بینی‌کننده با مقادیر واقعی ۹۶,۳۹٪ است که مقدار قابل قبولی است.

همان‌گونه که در بخش قبلی بیان شد تعداد ۲۲ آزمایش برای سه متغیر طراحی گردید. نمودارهای C/C<sub>0</sub> بر حسب زمان برای تمامی آزمایشات ترسیم گردید. شکل ۱ نمودار نوعی را برای یکی از آزمایش‌ها نشان می‌دهد. به منظور ممانعت از حجیم شدن مطلب، از آوردن تمامی نمودارها که ۲۲ نمودار می‌باشند، خودداری نموده و فقط یکی از آن‌ها را به عنوان نمونه در اینجا آورده‌ایم.

بر حسب ساعت با استفاده از فرمول ۱ محاسبه شد. برای محاسبه انتگرال از نرم‌افزار Excel استفاده شد. همان‌طور که گفته شد برای محاسبه فاکتور بازداری، به نسبت سرعت آب در منافذ به سرعت آلاینده نیاز داریم. برای محاسبه سرعت آب در منافذ از محلول ppm ۱۰ فلورسین و ارتفاع ستون خاک برابر با ۴,۲ cm استفاده شد. با انجام این آزمایش سرعت آب در منافذ با  $0,0833 \text{ cm/hr}$  برابر با  $0,0833 \text{ cm} / \text{hr}$  است. به این ترتیب طبق فرمول داریم:

$$V_p = H / t = 4,2 / 0,0833 = 50,4002 \text{ cm} / \text{hr} \quad (4)$$

$V_p$  نیز برای هر آزمایش محاسبه گردید. با جاگذاری مقدار  $\rho_b$  (که برابر با  $2,5 \text{ g/cm}^3$  به دست آمد) و مقدار تخلخل (که برابر  $0,5$  محاسبه گردید) در معادله ۳، مقدار  $K_d$  برای آزمایشات مختلف، محاسبه گردید. مقادیر  $K_d$  و  $t_{step}$  محاسبه شده برای آزمایشات، در جدول ۴ آورده شده است. مقادیر  $K_d$  به دست Minitab از محاسبات بالا به عنوان پاسخ وارد نرم‌افزار گردید.



شکل ۱. منحنی شکست نوعی برای یکی از آزمایش‌ها با شرایط  $\text{pH}=4, H=2 \text{ cm}, C=250 \text{ ppm}$

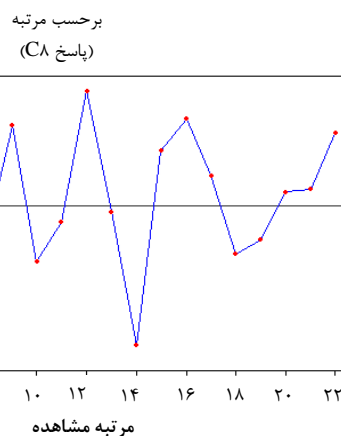


جدول ۶. میزان انطباق مدل با پاسخ آزمایش‌ها

| St Resid | باقی‌مانده | برازش SE | برازش  | C8    | مرتبه Std | obs |
|----------|------------|----------|--------|-------|-----------|-----|
| -1۸۹     | -۰,۶۵      | ۰,۵۹۵    | ۲۱,۱۹  | ۲۰,۵۴ | ۶         | ۱   |
| -۱,۰۴    | -۰,۴۸۵     | ۰,۵۹۵    | ۱۸,۳۸۵ | ۱۷,۹  | ۸         | ۲   |
| -۰,۶۵    | -۰,۳۰۵     | ۰,۵۹۵    | ۱۴,۵۰۵ | ۱۴,۲  | ۱         | ۳   |
| -۰,۳     | -۰,۱۴      | ۰,۵۹۵    | ۱۹,۴۴  | ۱۹,۳  | ۳         | ۴   |
| -۱       | -۰,۴۶۵     | ۰,۵۹۵    | ۲۵,۷۲۵ | ۲۵,۲۶ | ۷         | ۵   |
| ۱,۰۹     | ۰,۴۶۵      | ۰,۶۲۴    | ۲۵,۱۵۵ | ۲۵,۶۲ | ۱۰        | ۶   |
| ۰,۷۶     | ۰,۳۲۵      | ۰,۶۲۴    | ۲۰,۷۷۵ | ۲۱,۱  | ۹         | ۷   |
| -۰,۵۶    | -۰,۲۶      | ۰,۵۹۵    | ۲۸,۸۷۶ | ۲۸,۵  | ۴         | ۸   |
| ۱,۰۵     | ۰,۷۴۵      | ۰,۲۶۳    | ۲۲,۶۵۵ | ۲۳,۴  | ۱۷        | ۹   |
| -۱,۱۳    | -۰,۵۳      | ۰,۵۹۵    | ۲۶,۱۳  | ۲۵,۶  | ۵         | ۱۰  |
| -۰,۲۲    | -۰,۱۵۵     | ۰,۲۶۳    | ۲۲,۶۵۵ | ۲۲,۵  | ۱۶        | ۱۱  |
| ۱,۵      | ۱,۰۶۵      | ۰,۲۶۳    | ۲۲,۶۵۵ | ۲۳,۷۲ | ۲۰        | ۱۲  |
| -۰,۰۸    | -۰,۰۵۵     | ۰,۲۶۳    | ۲۲,۶۵۵ | ۲۲,۶  | ۱۹        | ۱۳  |
| -۱,۸۴    | -۱,۳۰۵     | ۰,۲۶۳    | ۲۲,۶۵۵ | ۲۱,۳۵ | ۲۱        | ۱۴  |
| ۱,۱۹     | ۰,۵۱       | ۰,۶۲۴    | ۲۰,۶۹  | ۲۱,۲  | ۱۱        | ۱۵  |
| ۱,۱۴     | ۰,۸۰۵      | ۰,۲۶۳    | ۲۲,۶۵۵ | ۲۲,۴۶ | ۲۲        | ۱۶  |
| ۰,۶۶     | ۰,۲۸       | ۰,۶۲۴    | ۲۲,۸۲  | ۲۳,۱  | ۱۲        | ۱۷  |
| -۰,۶۴    | -۰,۴۵۵     | ۰,۲۶۳    | ۲۲,۶۵۵ | ۲۲,۲  | ۱۵        | ۱۸  |
| -۰,۷     | -۰,۳۲۵     | ۰,۵۹۵    | ۲۶,۲۲۵ | ۲۵,۹  | ۲         | ۱۹  |
| ۰,۲۸     | ۰,۱۲       | ۰,۶۲۴    | ۲۲,۱۸  | ۲۲,۳  | ۱۳        | ۲۰  |
| ۰,۲      | ۰,۱۴۵      | ۰,۲۶۳    | ۲۲,۶۵۵ | ۲۲,۸  | ۱۸        | ۲۱  |
| ۱,۵۷     | ۰,۶۷       | ۰,۶۲۴    | ۲۳,۴۳  | ۲۴,۱  | ۱۴        | ۲۲  |

جدول ۷. خروجی نرم‌افزار Minitab برای جدول ANOVA

| P     | F     | Adj MS  | Adj SS  | Sq SS   | DF | منبع       |
|-------|-------|---------|---------|---------|----|------------|
| ۰     | ۳۵,۵۷ | ۲۰,۳۳۴۷ | ۱۸۲,۰۱۳ | ۱۸۳,۰۱۳ | ۹  | رگرسیون    |
| ۰     | ۱۴,۷۴ | ۸,۴۲۷۹  | ۲۵,۲۸۴  | ۲۵,۲۸۴  | ۳  | خطی        |
| ۰,۴۰۳ | ۱,۰۶  | ۰,۶۰۴۴  | ۱,۸۱۳   | ۱,۸۱۳   | ۳  | مریعی      |
| ۰,۰۰۰ | ۹۰,۹۲ | ۵۱,۹۷۱۹ | ۱۵۵,۹۱۶ | ۱۵۵,۹۱۶ | ۳  | اثر متقابل |
| ۰,۵۴۲ | ۰,۸۸  | ۰,۵۲۸۵  | ۲,۶۴۲   | ۲,۶۴۲   | ۵  | عدم برآش   |
|       |       | ۰,۶۰۲۵  | ۴,۲۱۷   | ۴,۲۱۷   | ۷  | خطای خالص  |
|       |       |         |         | ۱۸۹,۸۷۲ | ۲۱ | کل         |



شکل ۲. نمودار خطاهای باقی‌مانده برحسب شماره آزمایش.

جدول ۵. نتایج مربوط به اهمیت فاکتورهای مختلف و اهمیت برهمنش آن‌ها

| Term                           | Coef    | SE Coef | T       | P     |
|--------------------------------|---------|---------|---------|-------|
| constant                       | ۲۲,۶۵۵۰ | .۲۶۲۷   | ۸۶,۲۵۱  | ۰,۰۰۰ |
| H                              | ۱,۰۹۵۰  | .۱۸۹۰   | ۵,۷۹۳   | ۰,۰۰۰ |
| pH                             | ۰,۵۳۲۵  | .۱۸۹۰   | ۲,۸۱۷   | ۰,۰۱۶ |
| C                              | ۰,۳۱۲۵  | .۱۸۹۰   | ۱,۶۵۳   | ۰,۱۲۴ |
| H*H                            | ۰,۰۷۷۵  | .۱۴۴۷   | ۰,۵۳۶   | ۰,۶۰۲ |
| pH*pH                          | -۰,۲۲۵۰ | .۱۴۴۷   | -۱,۰۵۵  | ۰,۱۴۶ |
| C*C                            | ۰,۰۳۷۵  | .۱۴۴۷   | ۰,۲۵۹   | ۰,۸۰۰ |
| H*pH                           | -۰,۶۰۰۰ | .۲۶۷۳   | -۲,۲۴۵  | ۰,۰۴۴ |
| H*C                            | -۴,۱۶۵۰ | .۲۶۷۳   | -۱۵,۵۸۱ | ۰,۰۰۰ |
| pH*C                           | -۱,۳۳۵۰ | .۲۶۷۳   | -۴,۹۹۴  | ۰,۰۰۰ |
| $S = .۷۵۶۰۷۳$ PRESS = ۲۶,۵۰۵   |         |         |         |       |
| R-Sq = .۹۶۳۹ R-Sq(adj) = .۹۳۶۸ |         |         |         |       |

جدول ۶ میزان انطباق مدل با پاسخ آزمایش‌ها را نشان می‌دهد. در این جدول مقدار پاسخ هر آزمایش، مقدار پاسخ منطبق شده توسط مدل، خطای استاندارد انطباق و باقی‌مانده استاندارد ارایه شده است. خطای باقی‌مانده استاندارد به صورت زیر بیان می‌شود:

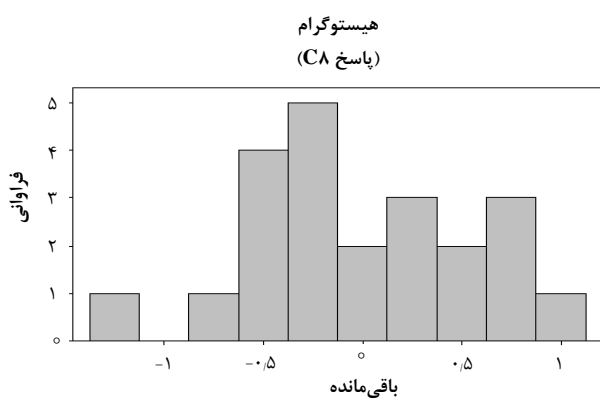
$$St\ Resid = \frac{Residual}{Sd\ of\ Residual} \quad (5)$$

معیاری برای مشاهدات غیرعادی است و اغلب محدوده‌ای بین -۲ تا ۲ دارد.

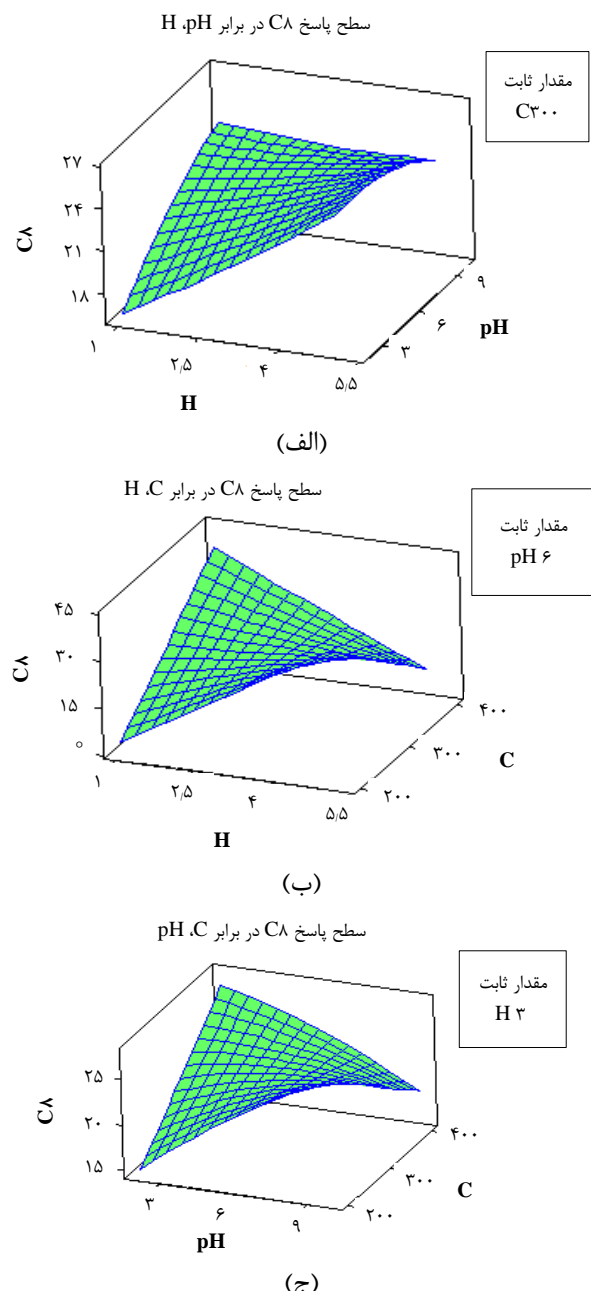
خروچی نرم‌افزار Minitab برای جدول ANOVA به صورت زیر است (جدول ۷) که با توجه به ضریب اطمینان ۰,۰۵ نتایج را می‌توان تحلیل کرد. با توجه به آن که مقدار P به دست آمده برای ضریب جملات خطی و جملات برهمنش بین عوامل، کمتر از سطح اطمینان ۰,۰۵ است، می‌توان نتیجه گرفت که مدل دارای انحنا نبوده و جملات مربوط به برهمنش بین عوامل دارای اهمیت زیادی هستند.

شکل ۲ نمودار توزیع خطاهای باقی‌مانده برحسب ترتیب پاسخ‌ها را نشان می‌دهد. در این نمودار میزان خطای باقی‌مانده هر آزمایش بر اساس شماره آزمایش رسم شده است. عدم وجود نظم و جهت‌گیری خاص بین خطاهای باقی‌مانده، نشان‌دهنده توزیع نرمال خطاهای باقی‌مانده در بین تمام آزمایش‌ها می‌باشد که این امر خود باعث حذف خطاهای غیرتصادفی خواهد شد.





شکل ۳. هیستوگرام خطاهای باقیمانده.

شکل ۴. نمودارهای سطوح پاسخ که در (الف)  $pH$  ثابت است، (ب) غلظت و (ج) ارتفاع ستون.

نمودار هیستوگرام خطاهای باقیمانده در شکل ۳ نشان داده شده است. همان‌طور که انتظار می‌رود یک روند توزیع تقریباً نرمال مشاهده می‌شود که در صورت افزایش تعداد آزمایش‌ها، تمایل نمودار به حالت توزیع نرمال (گوسی) بیشتر می‌شود. سطوح پاسخ برای سه عامل غلظت محلول استرانسیم، ارتفاع ستون خاک و  $pH$  به صورت نمودارهای سه بعدی به دست آمده‌اند (شکل ۴). این نمودارها براساس مقادیر ثابت برای یک عامل و رسم پاسخ برای دو عامل دیگر ترسیم شده‌اند. در نهایت با استفاده از ضرایب و مقدار  $P$  با ضریب اطمینان کمتر از ۰.۰۵ و فرمول ذکر شده در بالا رابطه‌ی زیر برای ضریب توزیع یون استرانسیم در خاک و ارتفاع خاک، غلظت و  $pH$  پیش‌بینی شد:

$$K_d = -88,480 + 27,42H + 5,84625pH - 0,3(H \times pH) - 0,0833(H \times C) - 0,01335(pH \times C) \quad (6)$$

این رابطه نشان می‌دهد که بیشترین تأثیر ناشی از ارتفاع ستون و سپس  $pH$  بوده و در رتبه‌های بعدی برهم‌کنش بین فاکتورها قرار دارند. غلظت استرانسیم تأثیری بر میزان  $K_d$  نداشته است.

#### ۴. نتیجه‌گیری

با توجه به نتایج آزمایشات تعیین ضریب توزیع مشخص شد که با افزایش ارتفاع خاک زمان شکست افزایش یافته است، زیرا با افزایش ارتفاع ستون خاک، مواضع بیشتری برای جذب استرانسیم در خاک ایجاد می‌شود که در نهایت باعث افزایش ظرفیت جذب و افزایش زمان شکست می‌شود و همین طور به دلیل طولانی شدن مسیر عبور محلول از خاک، استرانسیم فرست بیشتری برای جذب دارد در نتیجه میزان جذب افزایش یافته و نقطه شکست دیرتر ظاهر می‌گردد.

تغییر غلظت بر روی سرعت اشباع شدن ستون و زمان شکست مؤثر است. با افزایش غلظت اولیه استرانسیم زمان شکست کاهش یافته است. این نتیجه به این دلیل است که غلظت بالای یون فلزی ستون خاک را سریع‌تر اشباع می‌کند. چون ذرات حاذب در معرض غلظت‌های بیشتری از استرانسیم قرار می‌گیرند. همچنین با افزایش غلظت استرانسیم منحنی‌های شکست تیزتری به دست می‌آیند که نشان‌دهنده ناحیه انتقال جرم کوچک‌تر و سرعت جذب بالاتر می‌باشد.



## مراجع

1. Z. Ning, et al, *Strontium adsorption and penetration in kaolinite at low Sr<sup>2+</sup>concentration, Soil Science and Plant Nutrition*, **63**(1), 14-17 (2017).
2. E. Başçetin, G. Atun, *Adsorption behavior of strontium on binary mineral mixtures of Montmorillonite and Kaolinite*, *Appl. Radiat. Isotopes*, **64** (8), 957-964 (2006).
3. *Geological disposal of spent fuel and high-level and alpha bearing wastes, Proceedings of symp, Antwerp, Belgium, 19-23 october1992, IAEA Publication, Vienna, Austria*, (1993).
4. R.L. Bunde, et al, *Effects of calcium and magnesium on strontium distribution coefficients*, *Environ. Geol.*, **32** (3), 219-229 (1997).
5. M. Simad, "Nuclear power and fossil fuels: study of a symbiotic relationship", *Invited paper, Int. Energy Conf.*, Tehran, Iran, (1998).
6. U. Asim, et al, *Morphology controlled facile synthesis of MnO<sub>2</sub> adsorbents for rapid Strontium removal*, *J. Ind. Eng. Chem.*, **98**, 375-382 (2021).
7. J. Zhang, et al, *Distinctive two-step intercalation of Sr<sup>2+</sup> into a coordination polymer with record high <sup>90</sup>Sr uptake capabilities*, *Chem.*, **5**, 977-994 (2019).
8. A.H.M.J. Al-Obaidy, *Distribution of some metals in sediments and water in Tigris River*, *J. Global Ecol. Environ.*, **4**, 140-146 (2016).
9. Stephen D. Page, (Director), *Understanding Variation in Partition Coefficient, Kd, Values*, EPA 402-R-99-004A, August (1999).
10. H.M.N. Kamel, *Adsorption models of <sup>137</sup>Cs radionuclide and Sr (II) on some Egyptian soils*, *J. of Environ. Radio.*, **101**, 297-303 (2010).
11. M.H. Gerzabek, F. Strebl, B. Temmel, *Plant uptake of radionuclides in lysimeter experiments*, *Environ. Pollut.*, **99**, 93-103 (1998).
12. C. Bucur, et al, *Diffusion Coefficients of Critical Radionuclides from Radioactive Waste in Geological Medium, WM'00 Conference, February 27 – March 2*, (2000), Tucson, AZ.
13. D.J. Ashworth, G. Shaw, *A comparison of the soil migration and plant uptake of radioactive chlorine and iodine from contaminated groundwater*, *J. Environ.*, **89**, 61-80 (2006).
14. S. Kasar, et al, *Sorption and desorption studies of Cs and Sr in contaminated soil samples around Fukushima Daiichi Nuclear Power Plant*, *J. Soils Sediments*, **20**, 392-403 (2020).

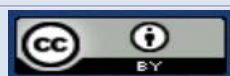
طبق رابطه به دست آمده از Mintab رابطه بین ضریب توزیع استرانسیم و غلظت، ارتفاع و pH محلول دارای یک عبارت خطی بوده و جملات مربوط به برهمکنش بین عوامل دارای اهمیت زیادی هستند. عدم وجود هرگونه نظم و یا جهتگیری خاص بین خطاهای باقیمانده به معنای توزیع نرمال این خطاهای در بین مقادیر منطبق شده توسط مدل میباشد.

طبق ضرایب تخمین زده شده و به دست آمده از داده‌های تجربی، ارتفاع خاک بیشترین اثر را در مقدار ضریب توزیع استرانسیم در خاک دارد و با افزایش ارتفاع خاک، مقدار ضریب توزیع استرانسیم افزایش یافته. در واقع با افزایش ارتفاع، رادیونوکلید مسیر طولانی‌تری را طی کرده و مواضع بیشتری افزایش می‌یابد که در نهایت باعث افزایش مقدار ضریب توزیع می‌گردد.

با توجه به ضرایب به دست آمده، بعد از ارتفاع خاک، مقدار pH مهم‌ترین عامل تأثیرگذار بر روی مقدار ضریب توزیع یون استرانسیم در خاک است. وابستگی مقدار pH به واکنش‌های تشکیل کمپلکس و برهمکنش‌های الکترواستاتیک موجب می‌شود که pH یکی از مؤثرترین عوامل در فرایند جذب و مقدار ضریب توزیع باشد.

### COPYRIGHTS

©2021 The author(s). This is an open access article distributed under the terms of the Creative Commons Attribution (CC BY 4.0), which permits unrestricted use, distribution, and reproduction in any medium, as long as the original authors and source are cited. No permission is required from the authors or the publishers.



استناد به این مقاله

شیوا باقری، سید امیرحسین فقهی، حسین قاسمی مبتکر، امیرمسعود طاهریان، حسن آقایان، طاهر یوسفی (۱۴۰۱)، بررسی ضریب توزیع استرانسیم در نمونه‌ای از خاک تهران، ۱۰۲، ۱۴۹، ۱۵۵-۱۵۶

DOI: [10.24200/nst.2022.1478](https://doi.org/10.24200/nst.2022.1478)

Url: [https://jonsat.nstri.ir/article\\_1364.html](https://jonsat.nstri.ir/article_1364.html)

